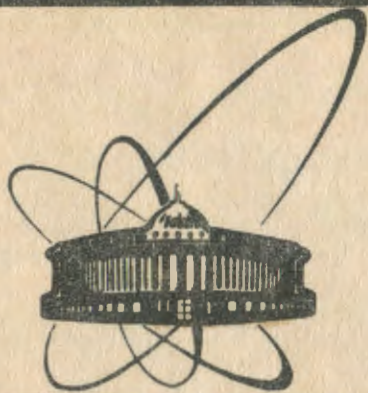


90-485



СООБЩЕНИЯ
ОБЪЕДИНЕННОГО
ИНСТИТУТА
ЯДЕРНЫХ
ИССЛЕДОВАНИЙ
ДУБНА

1018/91

9-90-485

П.Г.Акишин, Д.Х.Динев*, И.Б.Иссинский,
В.А.Михайлов, В.А.Щепунов

МОДЕЛИРОВАНИЕ КОРРЕКЦИИ
ЗАМКНУТОЙ ОРБИТЫ НУКЛОТРОНА

* Институт ядерных исследований
и ядерной энергетики БАН, София, НРБ

1990

1. ОПРЕДЕЛЕНИЕ ЗАМКНУТОЙ ОРБИТЫ СИНХРОТРОНА

Замкнутая орбита в синхротроне описывается периодическим решением неоднородного уравнения движения:

$$\frac{d^2 \eta}{d\phi^2} + Q^2 \eta = Q^2 f(\phi), \quad /1/$$

$$\eta(\phi + 2\pi) = \eta(\phi),$$

которое можно представить в виде

$$\eta(\phi) = \frac{Q}{2 \sin(\pi Q)} \int_{\phi}^{\phi+2\pi} f(t) \cos Q(\phi + \pi - t) dt. \quad /2/$$

Здесь η и ϕ - обобщенные координаты:

$$\eta = X / \sqrt{\beta}; \quad \phi = \int_0^s \frac{d\sigma}{Q \beta(\sigma)}; \quad /3/$$

β - бетатронная функция, Q - частота бетатронных колебаний. Функция $f(\phi)$ связана с погрешностями поля ($\Delta B/B$) следующим соотношением:

$$f(\phi) = \beta^{3/2}(\phi) (\Delta B/B \rho). \quad /4/$$

Учитывая малую угловую протяженность отдельного магнитного элемента, выражение /2/ можно переписать в виде суммы

$$\eta(\phi_1) \approx \frac{Q}{2 \sin(\pi Q)} \sum_{j=1}^{N_t} \bar{f}_j \Delta \phi_j \cos Q(|\phi_1 - \phi_j| - \pi),$$

где черта над f_j означает усреднение по ϕ в пределах магнитного элемента, имеющего j -ю погрешность поля, или с учетом /3/:

$$X_i \approx \sum_{j=1}^{N_t} \frac{\sqrt{\beta_i \beta_j}}{2 \sin(\pi Q)} \cos Q (|\phi_i - \phi_j| - \pi) \left(\frac{\Delta B \Delta s}{B \rho} \right)_j ; \quad /5/$$

N_t - полное число элементов, погрешности магнитного поля которых вызывают искажение замкнутой орбиты. Для корректора $(\Delta B \Delta s / B \rho)$ имеет смысл угла, корректирующего орбиту:

$$\Delta_k = \left(\frac{B_c \Delta s}{B \rho} \right)_k ; \quad k = 1, 2, \dots, N_{\text{кор}} ; \quad /6/$$

$N_{\text{кор}}$ - число корректоров.

Через фурье-гармоники силы $f(\phi)$ замкнутую орбиту можно выразить следующим образом:

$$X(\phi) = \sqrt{\beta(\phi)} Q^2 \sum_{m=-\infty}^{+\infty} \frac{X_m}{Q^2 - m^2} e^{im\phi} ; \quad /7/$$

где

$$X_m = \frac{1}{2\pi Q} \sum_{j=1}^{N_t} \sqrt{\beta_j} e^{-im\phi_j} \left(\frac{\Delta B \Delta s}{B \rho} \right)_j . \quad /8/$$

2. ОЦЕНКИ ИСКАЖЕНИЯ ЗАМКНУТОЙ ОРБИТЫ

Основными источниками искажения орбиты являются: разброс индукций $\langle \Delta B / B \rangle_M$ в дипольных магнитах, поворот их медианной плоскости вокруг оси на угол $\langle \alpha_s \rangle_M$, поперечные смещения продольных магнитных осей квадрупольных линз на величину $\langle \Delta X \rangle_n$ и $\langle \Delta Y \rangle_n$. Здесь и далее скобки $\langle \rangle$ обозначают среднеквадратичные значения случайной величины. Погрешности магнитного поля связаны с ошибками юстировки структурных элементов соотношениями:

$$\begin{aligned} \langle \Delta B / B \rangle_{x, o, M} &= \langle \alpha_s \rangle_M, & \langle \Delta B / B \rangle_{y, o, n} &= (G_n / B) \langle \Delta X \rangle_n, \\ \langle \Delta B / B \rangle_{x, o, n} &= (G_n / B) \langle \Delta Y \rangle_n, \end{aligned} \quad /9/$$

где G_n - градиент в структурных квадрупольных линзах.

Максимальное отклонение замкнутой орбиты оценивалось с помощью гармонического метода ^{1/}. В нуклотроне наиболее близкими

к частотам бетатронных колебаний являются четыре гармоники с номерами $m = 5, 6, 7, 8$. Среднеквадратичные значения амплитуды m -й гармоники разложения /7/ определяются как

$$\langle X_m \rangle = \frac{Q_x \sqrt{\beta_{x \max}}}{\sqrt{Q_x^2 - m^2} \pi \rho} \sum_j M_j \left\langle \frac{\Delta B}{B} \right\rangle_{o,j}^2 \Delta s_j \bar{\beta}_{xj}^{-1/2}; \quad /10/$$

и аналогично для $\langle Y_m \rangle$. Индекс j здесь указывает тип магнитного элемента, Δs_j - его эффективная длина, M_j - число однотипных элементов. Максимальное отклонение орбиты в соответствии с /1/ с вероятностью 98% не превышает величины

$$X_{\max} = 2 \left\{ \sum_{m=5}^8 \langle X_m \rangle^2 \right\}^{1/2} (1 + |\delta| - |\delta|^2), \quad /11/$$

где $|\delta| = |Q_x - m|$, m - номер гармоники возмущения ближайшего целого резонанса; аналогично для Y_{\max} .

Для почти симметричной по градиентам магнитной структуры нуклотрона оценки для x - и y -плоскостей примерно равны, и при $|\delta| = 0,1$ среднеквадратичные значения амплитуд 5-8 гармоник связаны с погрешностями поля и юстировки соотношениями

$$\begin{aligned} \langle X_5 \rangle^2 &= 0,5 \langle \Delta B / B \rangle_{o,m}^2 + 9 \langle \Delta X \rangle_{\rho}^2; \\ \langle X_6 \rangle^2 &= 1,9 \langle \Delta B / B \rangle_{o,m}^2 + 32 \langle \Delta X \rangle_{\rho}^2; \\ \langle X_7 \rangle^2 &= 95 \langle \Delta B / B \rangle_{o,m}^2 + 1630 \langle \Delta X \rangle_{\rho}^2; \\ \langle X_8 \rangle^2 &= 0,7 \langle \Delta B / B \rangle_{o,m}^2 + 11 \langle \Delta X \rangle_{\rho}^2; \end{aligned} \quad /12/$$

где линейные смещения $\langle \Delta X \rangle_{\rho}$ и амплитуды $\langle X_m \rangle$ даны в метрах. Допуски на разброс индукций магнитного поля и на ошибки юстировки с учетом /11/ определяются тогда из неравенства:

$$427 \langle \Delta B / B \rangle_{o,m}^2 + 7334 \langle \Delta X \rangle_{\rho}^2 < X_{\max}^2. \quad /13/$$

3. МЕТОДЫ КОРРЕКЦИИ ОРБИТЫ

Силы корректоров /6/ связаны со значениями орбиты в мониторах X_i ($i = 1 \dots N_m$) с помощью матрицы коррекции $\hat{C}_{\text{кор}}$ размерностью $N_{\text{кор}} \times N_m$:

$$\vec{\Delta} = \hat{C}_{\text{cor}} \vec{X}; \quad /14/$$

причем матричные элементы $c_{k,j}$ зависят от выбора метода коррекции и расстановки мониторов и корректоров.

Общие методы коррекции основаны на соотношении /5/.

1а. В методе наименьших квадратов ² минимизируется целевая функция F:

$$F = \sum_{i=1}^{N_m} X_i^2, \quad /15/$$

где X_i - значение орбиты в i -м мониторе, N_m - число мониторов. С учетом /5/ можно показать, что минимум F наступает при следующем выборе \hat{C}_{cor} :

$$\hat{C}_{\text{cor}} = -(\hat{A}^T \hat{A})^{-1} \hat{A}^T, \quad /16/$$

где элементы матрицы \hat{A} определяются как

$$a_{ik} = \sqrt{\beta_j \beta_k} \cos Q (\phi_i - \phi_k - \pi) / (2 \sin \pi Q); \quad /17/$$

$i = 1 \dots N_m$ - индекс монитора, $k = 1 \dots N_{\text{cor}}$ - индекс корректора.

1б. Метод Херварда - Баконие ³ является модификацией метода 1а. Здесь ограничивается сила в корректорах с помощью параметра $\gamma \in (0, 1]$, подбираемого экспериментально. Целевая функция имеет вид

$$F = \gamma \sum_{i=1}^{N_m} X_i^2 + (1 - \gamma) \sum_{k=1}^{N_{\text{cor}}} \Delta_k \beta_k^2. \quad /18/$$

Минимум /18/ достигается при

$$\hat{C}_{\text{cor}} = -\gamma [\gamma (\hat{A}^T \hat{A}) + (1 - \gamma) \hat{B}]^{-1} \hat{A}^T, \quad /19/$$

где \hat{A} определена в /17/, а для \hat{B} имеем

$$b_{rk} = \delta_{rk} \beta_k^2; \quad /20/$$

$r, k = 1 \dots N_{\text{cor}}$;

δ_{rk} - символ Кронекера. При $\gamma = 1$ метод 1б переходит в 1а. Возможно исключение весов β_k^2 во второй скобке в формуле /18/, при этом сохраняется перед суммой нормирующий множитель β^2 - усредненный по корректорам квадрат β -функции.

1в. Метод наименьших квадратов с выбором главных гармоник основан на соотношении

$$\cos Q(\phi_i - \phi_k - \pi) = \frac{2Q}{\pi} \sin(\pi Q) \left(\frac{1}{2Q^2} - \sum_{m=1}^{\infty} \frac{\cos m(\phi_i - \phi_k)}{m^2 - Q^2} \right). \quad /21/$$

В этом методе используется \hat{C}_{cor} как в /16/, но \hat{A} определена по-другому:

$$a_{ik} = \sqrt{\beta_i \beta_k} \left(\frac{Q}{\pi} \right) \left(\frac{1}{2Q^2} - \sum_m \frac{\cos m(\phi_i - \phi_k)}{m^2 - Q^2} \right), \quad /22/$$

где в сумме по m берется конечное число ближайших к Q гармоник. Подстановка /21/ с конечным числом гармоник в сумме по m в /2/ показывает, что этот метод осуществляет коррекцию нескольких главных гармоник при целевой функции /15/.

2. Другим общим методом коррекции является динамический метод /4/, основанный на минимизации функции:

$$F = \frac{1}{2\pi} \int_0^{2\pi} \eta^2(\phi) d\phi. \quad /23/$$

В работе /5/ показано, что минимум /23/ достигается, если взять \hat{C}_{cor} в виде

$$c_{k,i} = \frac{2 \sin(\pi Q)}{\sqrt{\beta_k \beta_i}} (\hat{B}^{-1} \hat{A}^T)_{ki}, \quad /24/$$

где элементы матрицы \hat{B} определяются как

$$b_{qr} = \cos Q |\phi_q - \phi_r| + \frac{\sin(\pi Q)}{\pi Q} [\cos Q (\pi - |\phi_q - \phi_r|) - \\ - Q |\phi_q - \phi_r| \sin Q (\pi - |\phi_q - \phi_r|)], \quad /25/$$

$q, r = 1 \dots N_{\text{cor}}$ - индексы корректоров. Элементы матрицы \hat{A} равны:

$$a_{ir} = \left(\frac{2}{N_m} \right) \frac{2Q \sin(\pi Q)}{\pi} \left[\frac{1}{2} \left(\frac{1}{Q^2} + \frac{1}{Q^2 - (N_m/2)^2} \right) + \right.$$

$$+ \sum_{m=1}^{N_m/2-1} \frac{\cos m(\phi_1 - \phi_r)}{Q^2 - m^2}] ; \quad /26/$$

$i = 1 \dots N_m$ - индекс монитора.

3. Гармонический метод^{/5/} основан на создании с помощью корректоров таких гармоник искажения орбиты, которые равны по величинам и противоположны по знаку ближайшим к Q гармоникам замкнутой орбиты, т.е.

$$\frac{1}{\pi} \int_0^{2\pi} f_{\text{cor}}(\phi) \begin{pmatrix} \cos m\phi \\ \sin m\phi \end{pmatrix} d\phi \approx \frac{1}{\pi Q} \sum_{k=1}^{N_{\text{cor}}} \frac{\cos m\phi_k}{\sqrt{\beta_k} \Delta_k} \begin{pmatrix} \cos m\phi_k \\ \sin m\phi_k \end{pmatrix} =$$

$$= -\left(1 - \frac{m^2}{Q^2}\right) \begin{pmatrix} u \\ v \end{pmatrix}_m ; \quad /27/$$

где

$$\begin{pmatrix} u \\ v \end{pmatrix}_m = \frac{1}{\pi} \int_0^{2\pi} \frac{X(\phi)}{\sqrt{\beta(\phi)}} \begin{pmatrix} \cos m\phi \\ \sin m\phi \end{pmatrix} d\phi. \quad /28/$$

Введем матрицу \hat{D} размерностью $N_{\text{cor}} \times N_{\text{cor}}$ следующим образом:

$$d_{2m-1, k} = \cos m\phi_k ; \quad /29/$$

$$d_{2m, k} = \sin m\phi_k ;$$

$m = 1 \dots N_{\text{cor}}/2$, $k = 1, 2 \dots N_{\text{cor}}$, тогда силы в корректорах можно определить с помощью /27/ через элементы обратной матрицы \hat{D}^{-1} :

$$\Delta_k = -\frac{\pi Q}{\sqrt{\beta_k}} \sum_{m=1}^{N_{\text{cor}}/2} \left(1 - \frac{m^2}{Q^2}\right) (d_{k, 2m-1}^{-1} u_m + d_{k, 2m}^{-1} v_m). \quad /30/$$

В наилучшем случае равномерного расположения мониторов Фурье-гармоники /28/ с точностью до гармоник порядка выше $N_m/2$ совпадают с коэффициентами Бесселя^{/4/}:

$$\begin{pmatrix} u \\ v \end{pmatrix}_m \approx \begin{pmatrix} U \\ V \end{pmatrix}_m = \begin{pmatrix} 2 \\ N_m \end{pmatrix} \sum_{i=1}^{N_m} \frac{X_i}{\sqrt{\beta_i}} \begin{pmatrix} \cos m\phi_i \\ \sin m\phi_i \end{pmatrix}. \quad /31/$$

Подставляя /31/ в /30/ для \hat{C}_{cor} можно получить:

$$c_{ki} = - \frac{\pi Q}{\sqrt{\beta_k \beta_i}} \left(\frac{2}{N_m} \right) \sum_{m=1}^{N_{\text{cor}}/2} \left(1 - \frac{m^2}{Q^2} \right) (d_{k, 2m-1}^{-1} \cos m \phi_i - d_{k, 2m}^{-1} \sin m \phi_i), \quad /32/$$

В случае коррекции ближайших к Q гармоник в суммах /30/ и /32/ необходимо оставить их соответствующие номера, причем условие $N_{\text{cor}} \geq 2N_{\text{max}}$, где N_{max} - максимальный номер корректируемых гармоник, по-прежнему должно выполняться. Подчеркнем, что в /27-32/ ϕ - обобщенный азимут /3/.

Динамический метод, а также использование /32/ в гармоническом методе предполагает, что мониторы расставлены эквидистантно. Если это не так, то нужно дополнительно рассчитывать значения орбиты в регулярных точках. Это можно сделать с помощью аппроксимации орбиты сплайном. В этом случае под \vec{X} в /14/, понимаются регулярные точки, которые обозначим здесь как X_{reg} . Построим матрицу G , элементы которой равны:

$$G_{\tau i} = x_i(\phi_\tau), \quad /33/$$

где $\tau = 1 \dots N_{\text{reg}}$ - индексы регулярных точек, $i = 1 \dots N_m$ - индексы мониторов, N_{reg} и N_m - число регулярных точек и мониторов. Периодические функции $x_i(\phi)$: $x_i(\phi + 2\pi) = x_i(\phi)$ строятся с помощью сплайна на основе N_m значений в азимутах, где расположены мониторы:

$$x_i(\phi_j) = \delta_{ij}; \quad /34/$$

$i, j = 1 \dots N_m$ - индексы мониторов, δ_{ij} - символ Кронекера. С помощью матрицы \hat{G} получим

$$\vec{X}_{\text{reg}} = \hat{G} \vec{X}, \quad /35/$$

где \vec{X} - орбита в мониторах. Откуда

$$\vec{\Delta} = \hat{C}_{\text{cor}} \vec{X}_{\text{reg}} = (\hat{C}_{\text{cor}} \hat{G}) \vec{X} = \hat{C}_{\text{cor}} \dot{\vec{X}} \quad /36/$$

при

$$\hat{C}_{\text{cor}} = \hat{C}_{\text{cor}} \hat{G}. \quad /37/$$

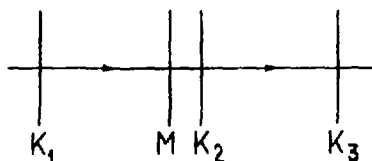


Рис. 1. Расположение монитора М и корректоров $K_1 - K_3$ в бамп-методе.

Таким образом, при нерегулярном расположении мониторов в методе 2 и 3 необходимо использовать /36/-/37/. \hat{C}_{cor} при этом рассчитывается для некоторого набора регулярных точек /например, вблизи структурных Φ -и Δ -линз/.

4. Бамп-метод осуществляет локальную коррекцию орбиты с помощью трех корректоров на основании показаний одного или нескольких мониторов. Силы корректоров $\Delta_1, \Delta_2, \Delta_3$ выбираются из условия минимальных значений орбиты в мониторах и ее неизменности за пределами корректируемого участка /6/. При использовании показаний одного монитора /рис.1/ из 3 линейных уравнений можно получить следующие выражения для сил корректоров:

$$\Delta_1 = -X_m / (\sqrt{\beta_m} \beta_1 \sin \mu_{1m}),$$

$$\Delta_2 = -\Delta_1 \sqrt{\beta_1} \sin \mu_{13} / (\sqrt{\beta_2} \sin \mu_{23}), \quad /38a/$$

$$\Delta_3 = \Delta_1 \sqrt{\beta_1} \sin \mu_{12} / (\sqrt{\beta_3} \sin \mu_{23}),$$

где индексы 1-3 относятся к корректорам, а m - к пикап-электроду; $\mu_{ij} = (\mu_j - \mu_i)$ - набег фазы бетатронных колебаний между точками i и j; X_m - показания монитора до коррекции.

Более предпочтительной схемой коррекции является та, которая учитывает значения орбиты в нескольких мониторах. Силы в K_2 и K_3 определяются через силу первого корректора из 2-го и 3-го уравнений в /38a/. Сила первого корректора Δ_1 находится из условия минимума суммы квадратов орбиты в N мониторах. Минимизируется следующий функционал, второе слагаемое в котором с безразмерным множителем λ^2 служит для ограничения силы корректоров:

$$F = \sum_{i=1}^N (X^{(\text{cor})} + X^{(m)})_i^2 + \lambda^2 \beta_1 \beta_2 \Delta_1^2 \sin^2 \bar{\mu}_{12},$$

где

$$\bar{\mu}_{12} = \begin{cases} \mu_{12} = \mu_2 - \mu_1, & \text{если } \mu_{12} \leq \pi, 2, \\ \pi, 2, & \text{если } \mu_{12} > \pi, 2, \end{cases}$$

i - индекс монитора; $X_i^{(m)}$ - орбита в i -м мониторе перед коррекцией; $X_i^{(cor)}$ - орбита, создаваемая корректорами:

$$X_i^{(cor)} = \Delta_1 \tilde{X}_i^{(cor)},$$

$$\tilde{X}_i^{(cor)} = \sqrt{\beta_1 \beta_i^{(m)}} \begin{cases} \sin(\mu_i^{(m)} - \mu_1), & \text{если } \mu_i^{(m)} \leq \mu_2, \\ \sin(\mu_i^{(m)} - \mu_1) - \frac{\sin \mu_{13}}{\sin \mu_{23}} \sin(\mu_i^{(m)} - \mu_2), & \\ \text{если } \mu_i^{(m)} > \mu_2 \end{cases}$$

Фазы μ и амплитудные β -функции с индексом (m) вверху относятся к мониторам, без него - к корректорам.

Минимум F наступает при следующем Δ_1 :

$$\Delta_1 = - \sum_{i=1}^N X_i^{(m)} C_i, \quad /386/$$

где

$$C_i = \tilde{X}_i^{(cor)} / \left(\sum_{i=1}^N (\tilde{X}_i^{(cor)})^2 + \lambda^2 \beta_1 \beta_2 \sin^2 \mu_{12} \right).$$

В случае последовательного применения бамп-коррекции с продвижением на каждом шаге от одного корректора к соседнему получим итеративную бамп-коррекцию. Коррекция в последнем мониторе может, однако, разрушить скорректированную орбиту в первом мониторе. Этого можно избежать либо путем многократного повторения упомянутых проходов коррекции вдоль периметра, либо путем точного вычисления матрицы C_{cor} итеративного бамп-метода /7/.

4. КАЧЕСТВО КОРРЕКЦИИ ЗАМКНУТОЙ ОРБИТЫ

Замкнутые орбиты до коррекции $X_0(\phi)$ и после $X_{cor}(\phi)$ являются случайными величинами и для них можно получить статистические аналитические оценки. Для $X_0(\phi)$ из /5/ следует, что

$$X_0(\phi) = \sum_{n=1}^{N_t} a_n(\phi) \theta_n, \quad /39/$$

$$a_n(\phi) = \frac{\sqrt{\beta(\phi) \beta(\phi_n)}}{2 \sin \pi Q} \cos Q(\phi - \phi_n - \pi), \quad /40/$$

$$\theta_n = (\Delta B \Delta s / B \rho)_n, \quad /41/$$

где ϕ_n - обобщенный азимут n -й /по счету/ погрешности поля θ_n за исключением корректоров орбиты; N_t - полное число погрешностей. Для $X_{\text{cor}}(\phi)$ с учетом корректоров орбиты /14/ можно получить:

$$X_{\text{cor}}(\phi) = X_0(\phi) + \Delta X_{\text{cor}}(\phi) = \sum_{n=1}^{N_t} a_n(\phi) \theta_n + \sum_{k=1}^{N_{\text{cor}}} a_k(\phi) \Delta_k =$$

$$= \sum_{n=1}^{N_t} \theta_n (a_n(\phi) + \sum_{k=1}^{N_{\text{cor}}} \sum_{i=1}^{N_m} c_{ki} a_k(\phi) a_n(\phi_i)),$$

или

$$X_{\text{cor}}(\phi) = \sum_{n=1}^{N_t} b_n(\phi) \theta_n, \quad /42/$$

$$b_n(\phi) = a_n(\phi) + \sum_{k=1}^{N_{\text{cor}}} \sum_{i=1}^{N_m} c_{ki} a_k(\phi) a_n(\phi_i), \quad /43/$$

где матрица коррекции $\|c_{ki}\|$ зависит от метода коррекции /п.3/; n, k, i - индексы погрешности поля, корректора и монитора соответственно. Если в /39/ и /42/ под θ_n понимать те погрешности, которые линейным образом связаны с ошибками в юстировке магнитов /9/, и предположить гауссов характер распределения последних, а также индукций магнитного поля в дипольных магнитах, то замкнутые орбиты $X_0(\phi)$ и $X_{\text{cor}}(\phi)$ также будут гауссовыми величинами с нулевыми средними значениями. Для дисперсии из /39/ и /42/ будем иметь следующие выражения:

$$\langle X_0(\phi) \rangle^2 = \sum_{p=1}^M \sigma_p^2 \left(\sum_{n_p=1}^{N_p} a_{n_p}^2(\phi) \right), \quad /44a/$$

$$\langle X_{\text{cor}}(\phi) \rangle^2 = \sum_{p=1}^M \sigma_p^2 \left(\sum_{n_p=1}^{N_p} b_{n_p}^2(\phi) \right), \quad /44a/$$

где $M=4$ - число основных типов погрешностей поля /см.п.2/; σ_p^2 - дисперсии источников погрешностей: $\langle \Delta X \rangle^2$, $\langle \Delta Y \rangle^2$, $\langle \alpha_s \rangle^2$, $\langle \Delta B/B \rangle^2$, $p=1-4$; N_p - число магнитных элементов /дипольных или квадрупольных магнитов/ с погрешностью p -го типа.

Выражения /44a/ позволяют ввести функции $\xi_{o,\alpha}(\phi)$ и $\xi_{\text{cor},\alpha}(\phi)$, показывающие такие значения орбиты в точке ϕ , которые не будут превышены с вероятностью α :

$$\xi_{o,\alpha}(\phi) = \lambda_\alpha \langle X_o(\phi) \rangle; \quad /44б/$$

$$\xi_{\text{cor},\alpha}(\phi) = \lambda_\alpha \langle X_{\text{cor}}(\phi) \rangle.$$

Коэффициент λ_α в /44б/ определяется доверительным уровнем α . Например, для $\alpha=98\%$ $\lambda_\alpha=2,40$.

Аналогично можно вычислить такую силу каждого корректора $X_{k,\alpha}$, которая не будет превышена с вероятностью α . Из /5/ и /14/ получим

$$\Delta_k = \sum_{n=1}^{N_t} \theta_n \left(\sum_{m=1}^{N_m} c_{km} a_n(\phi_m) \right),$$

где обозначения такие же, как в /39/-/41/. Откуда

$$X_{k,\alpha} = \lambda_\alpha \langle \Delta_k \rangle = \lambda_\alpha \left(\sum_{p=1}^M \sigma_p^2 \sum_{n_p=1}^{N_p} \left(\sum_{m=1}^{N_m} c_{km} a_{n_p}(\phi_m) \right)^2 \right)^{1/2}. \quad /44в/$$

Для характеристики качества коррекции орбиты в точке ϕ введем качество коррекции:

$$K = \max_{0 < \phi < 2\pi} |X_o(\phi)| / \max_{0 < \phi < 2\pi} |X_{\text{cor}}(\phi)|, \quad /45/$$

которое также является случайной величиной.

Аналитически подсчитать распределение вероятности K не представляется возможным. Однако численно методом Монте-Карло можно построить гистограмму распределения K . Цикл моделирования при этом следующий:

- 1/ в каждом магнитном элементе в соответствии с заранее заданными дисперсиями /9/ разыгрываются ошибки юстировки и поля;
- 2/ по формулам /39/, /42/ и /45/ определяется величина K .

5. РЕЗУЛЬТАТЫ МОДЕЛИРОВАНИЯ ЗАМКНУТОЙ ОРБИТЫ НУКЛОТРОНА

Для моделирования искажения замкнутой орбиты и коррекции ее одним из четырех методов, описанных в п.3, была создана программа CORBIT 'B. /язык - FORTRAN-77 для ПЭВМ/, использующая матричный метод расчета. Ошибки поля /9/ в ней разыгрываются с помощью генератора случайных чисел. После этого вычисляются

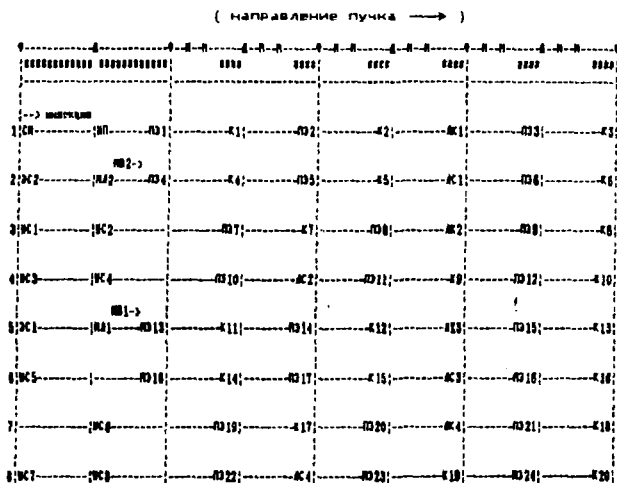
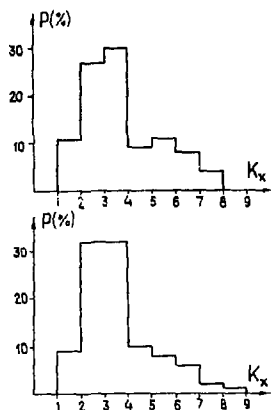


Рис.2. Компоновка дипольных корректоров и датчиков положения пучка в суперпериодах нуклотрона. Обозначения: Ф - фокусирующая квадрупольная линза; Д - дефокусирующая квадрупольная линза; М - дипольный магнит; СМ - септум-магнит системы инжекции; ИП - инфлекторные пластины системы инжекции; УС - ускоряющие станции; МВ1 - медленный вывод в корпус № 205; МВ2 - медленный вывод в корпус № 16; ЭС - электростатический септум системы МВ; МЛ - магнит Ламбертсона системы МВ; ЛК - линза квадрупольная системы МВ; ЛС - линза секступольная системы МВ; ПЭ - пикап-электрод; К - дипольный корректор.

замкнутая орбита и ее максимальные значения в обеих плоскостях до и после коррекции, определяется качество коррекции /45/. Цикл разыгрывания орбиты и ее коррекции повторяется необходи-

Рис.3. Гистограмма распределения качества коррекции горизонтальной орбиты динамическим методом /вверху/ и методом наименьших квадратов /внизу/.



мое число раз. На рис.2 показано размещение 20 корректоров /К/ и 24 мониторов /ПЭ/ в 8 суперпериодах нуклотрона. В табл.1 и 2 представлены результаты 200 циклов моделирования орбиты и ее коррекции методом наименьших квадратов и динамическим методом для бетатронных частот $Q_x = 6,8$ и $Q_y = 6,85$ и среднеквадратичных ошибок:

$$\langle \Delta X_{\text{л}} \rangle = \langle \Delta Y_{\text{л}} \rangle = 0,1 \text{ мм} ;$$

$$\langle \Delta V/V \rangle_{\text{м}} = \langle a_s \rangle_{\text{м}} = 5 \cdot 10^{-4} .$$

На рис.3 изображены гистограммы распределения качества коррекции горизонтальной орбиты для указанных методов. Аналогичные распределения - для вертикальной орбиты.

Таблица 1. Замкнутая орбита до и после коррекции для методов наименьших квадратов /слева/ и динамического /справа/

	До коррекции		После коррекции	
Среднее для максимальной орбиты X_{max} /мм/	4.10	1.22	1.08	
Среднеквадратичное значение максимального искажения орбиты $\langle X_{\text{max}} \rangle$ /мм/	4.31	1.28	1.16	
Y_{max} /мм/	4.75	1.41	1.45	
$\langle Y_{\text{max}} \rangle$ /мм/	5.08	1.54	1.60	

Как видно из табл.1, между аналитической оценкой /13/ и результатом моделирования имеется хорошее согласие. С помощью CORBIT отдельно исследовался вклад дипольных и квадрупольных магнитов в искажение орбиты, и получено согласие с /13/ с точностью до набранной статистики.

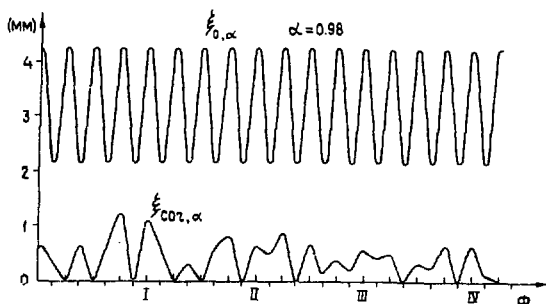


Рис.4. Максимальные значения орбиты до и после коррекции в зависимости от азимута Φ для 4 суперпериодов нуклотрона /отмечены римскими цифрами/: α - доверительный уровень; положения Φ -линз отмечены делениями выше горизонтальной оси, Д-линз - ниже оси; расстояние между соседними Φ - и Д-линзами $11,25^\circ$.

Таблица 2. Качество коррекции и максимальные силы в корректорах для методов наименьших квадратов /слева/ и динамического /справа/

Плос- кость	\bar{K}	$\langle K \rangle$	K_{\min}	K_{\max}	Максимальный угол поворота в корректоре /град/	
X	3.60 3.72	3.92 4.05	1.2 1.2	12.1 10.3	1.02	1.12
Y	4.00 3.91	4.67 4.55	1.2 1.2	14.4 13.1	0.77	0.70

На рис.4 показаны графики максимальных значений горизонтальной орбиты до и после коррекции /методом наименьших квадратов/ в зависимости от азимута, вычисленные с помощью аналитических соотношений /44а-б/ при доверительном уровне $\alpha = 98\%$. Максимальные силы в корректорах, полученные из /44в/ /при том же α /, равны 1,21 и 0,77 для горизонтальной и вертикальной плоскостей соответственно, что хорошо согласуется с результатом моделирования методом Монте-Карло /см. табл.2/.

Проводилось также моделирование коррекции орбиты гармоническим методом для этой же расстановки корректоров и мониторов /рис.2/. При коррекции 4 ближайших к Q_x и Q_y гармоник получено несколько худшее качество.

При коррекции динамическим и гармоническим методом использовалась аппроксимация орбиты сплайном и брались ее значения вблизи структурных квадрупольных магнитов.

В заключение следует отметить, что в программе для ЭВМ, управляющей коррекцией орбиты нуклотрона, целесообразно реализовать все 4 рассмотренных метода коррекции: бамп-метод - для коррекции 1-го оборота, остальные методы - для коррекции в процессе ускорения и вывода.

ЛИТЕРАТУРА

1. Gluckstern P.L. - Particle Accelerators, 1978, v.8, p.203.
2. Autin B., Marti Y. - CERN/ISR-MA/73-17, Geneva, 1973.
3. Vaconnier Y. - CERN 65-35, Geneva, 1965.
4. Динев Д.Х. - ОИЯИ, P9-82-502, Дубна, 1982.
5. Autin B., Bryant P.J. - CERN/ISR-MA/71-36, Geneva, 1971.
6. Holtey G. - CERN/Lab. 2-D1-PA/Int. 73-3, Geneva, 1973.
7. Maidment J.R., Planner C.W. - "An analytic method for closed orbit correction in high energy synchrotrons", Nucl. Instr. and Meth., 1972.
8. Щелунов В.А. - ОИЯИ, Б1-9-90-366, Дубна, 1990.
9. Guignard G., Marti Y. - CERN/ISR-BOM-TH/81-32, Geneva, 1981.